

составляла $\approx 80\%$ от эффективности исходной структуры, а в интервале $h\nu < 3.0$ эВ фоточувствительность практически отсутствовала (см. рисунок).

Отметим, что все эти светофильтры имеют широкое спектральное окно пропускания инфракрасной области ($h\nu = 1.0-1.5$ эВ), но из-за отсутствия фоточувствительности GaP поверхностно-барьерных структур в этой области данный недостаток светофильтров является несущественным.

Для фотоприемников с площадью приемной поверхности 0.4 см^2 характерно следующее: плотность темнового тока $< 10^{-9} \text{ А/см}^2$ ($T = 300$ К, напряжение $= -1$ В); линейная зависимость фототока короткого замыкания от плотности потока излучения в интервале $10^{-6}-10^{-1}$ Вт/см 2 ; температурный рост квантовой эффективности с температурным коэффициентом $0.2\%/\text{К}$ при $h\nu = 3$ эВ и $0.1\%/\text{К}$ при $h\nu = 5$ эВ в интервале температур $-70-+50^\circ\text{C}$.

Эта работа была частично поддержанна Российским фондом фундаментальных исследований (грант № 95-02-04121).

Список литературы

- [1] Царенков Б.В., Гольдберг Ю.А., Гусев Г.В., Огурцов В.И. // ФТП. 1974. Т. 8. Вып. 2. С. 410-414.
- [2] Гольдберг Ю.А., Царенков Б.В. А.С. ССР. № 392845. БИ. 1981. № 11. 266 с.
- [3] Гольдберг Ю.А., Львова Т.В., Царенков Б.В. // ПТЭ. 1976. № 4. С. 212-214.
- [4] Гольдберг Ю.А., Львова Т.В., Мезрин О.А. и др. // ФТП. 1990. Т. 24. Вып. 10. С. 1835-1840.

06:07

Журнал технической физики, т. 66, в. 8, 1996

ДИФФЕРЕНЦИАЛЬНО-ИНТЕГРАЛЬНЫЕ ФОТОПРИЕМНИКИ НА ОСНОВЕ GaInP/GaP ГЕТЕРОСТРУКТУР

© М.А.Абдукадов, Ю.Ю.Абдурахманов,
Н.А.Ахмедова, А.А.Паттахов

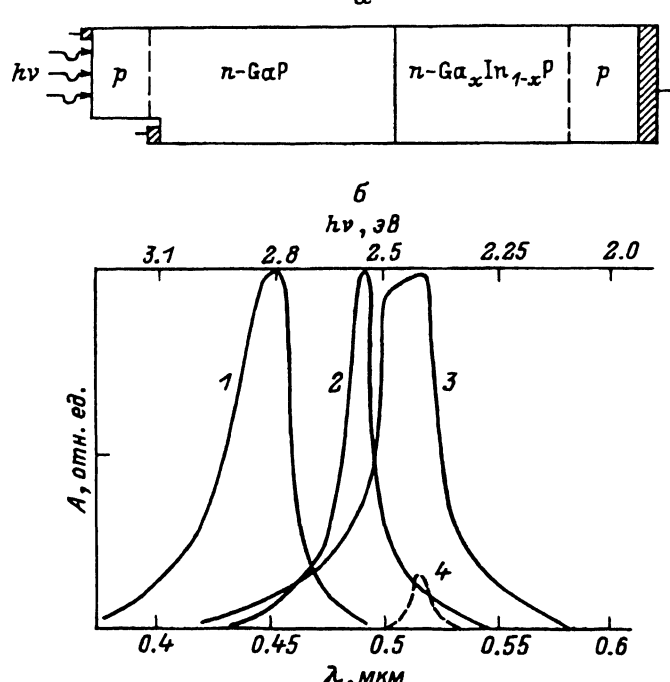
Научно-исследовательский центр
Министерства связи Республики Узбекистан,
700631 Ташкент, Узбекистан
(Поступило в Редакцию 22 сентября 1995 г.)

В последние годы для контроля загрязнения воздушного бассейна Земли широко применяется абсорбционный спектральный анализ неорганических газов, который базируется на дифференциальном поглощении световой энергии [1].

Для систем подобного рода весьма перспективно использование фотоприемников, позволяющих регистрировать световое излучение на нескольких $p-n$ -переходах с разделенной спектральной чувствительностью [2].

В данной работе приводятся спектральные характеристики дифференциально-интегрально фоточувствительной структуры p -GaP- n -GaP/ n -Ga_xIn_{1-x}P- p -Ga_xIn_{1-x}P. Твердые растворы соединений GaP и InP обладают однотипной кристаллической структурой с разницей постоянных решеток $\Delta a = 0.4176 \text{ \AA}$ и образуют непрерывные ряды твердых растворов Ga_xIn_{1-x}P, ширина запрещенной зоны которых изменяется от 1.351 (InP) до 2.261 эВ (GaP), а энергия прямых оптических переходов — от 2.23 (InP) до 2.78 эВ (GaP). Согласно данным [3], GaP является непрямозонным материалом с шириной запрещенной зоны (E_g) 2.261 эВ и энергией прямых оптических переходов (E_g) 2.78, а зонная структура Ga_xIn_{1-x}P зависит от величины x и имеет точку перехода. Для составов с $x \leq 0.73$ характерна прямая зонная структура, а при $x > 0.73$ структура Ga_xIn_{1-x}P становится непрямозонной. E_g и E_0 для Ga_xIn_{1-x}P при $x < 1$ всегда меньше, чем для GaP, т.е. энергия межзонных оптических переходов в GaP больше, чем в Ga_xIn_{1-x}P.

Для получения дифференциально-интегрально-фоточувствительной GaInP/GaP $p-n$ -структурь на подложке n -GaP толщиной ~ 150 мкм последовательно осаждены гетероэпитаксиальные слои Ga_xIn_{1-x}P ($x = 0.9, 0.8$) n -типа проводимости. Затем на поверхности изотипной гетероструктуры осуществляли двухстороннюю диффузию цинка из газовой фазы, что позволило формировать одновременно в n -GaP и n -Ga_xIn_{1-x}P слои p -типа проводимости толщиной 1–2 мкм. Концентра-



Ga_xIn_{1-x}P/GaP $p-n$ -структура (a) и спектры фоточувствительности дифференциально-интегрально-фоточувствительных Ga_xIn_{1-x}P/GaP $p-n$ -структур (б).

$X = 1$ (1), 0.9 (2), 0.8 (3); 1–3 — при толщине $h = 100$ мкм, 4 — при толщине $h = 400$ мкм.

щия дырок в слоях *p*-типа проводимости была на уровне $1-5 \cdot 10^{17} \text{ см}^{-3}$. Омические контакты наносились на слои *p*-GaP и *p*-Ga_{*x*}In_{1-*x*}P, а также на *n*-GaP (см. рисунок, *a*), что позволило исследовать характеристики *p-n*-переходов независимо друг от друга. Площадь исследованных *p-n*-структур составляла $\sim 2 \text{ мм}^2$.

На рисунке, *b* приведено спектральное распределение фоточувствительности (*A*) дифференциально-интегрально-фоточувствительных GaInP/GaP *p-n*-структур. При освещении поверхностного *p*-GaP слоя фотоны с энергией 2.5–3.5 эВ поглощаются в слое GaP и носители разделяются широкозонным *p-n*-переходом. В области энергий фотонов 2.5–2.8 эВ фоточувствительность резко увеличивается, что обусловлено прямыми оптическими переходами в GaP (рисунок, *b*). Абсолютная величина фоточувствительности в максимуме близка к 0.2–0.3 А/Вт. С ростом энергии фотонов от 2.8 до 3.5 эВ на поверхности GaP *p-n*-структуры возрастает скорость поверхностной рекомбинации и фоточувствительность падает. Крутизна спадов фоточувствительности коротковолновой части спектра связана с состоянием освещаемой поверхности и уровнем легирования *p*-слоя.

Фотоны с энергией $h\nu < 2.78 \text{ эВ}$ проникают внутрь GaP структуры, поглощаются в Ga_{*x*}In_{1-*x*}P (рисунок, *a*) и разделяются узкозонным *p-n*-переходом. Спектры фоточувствительности Ga_{0.9}In_{0.1}P и Ga_{0.8}In_{0.2}P *p-n*-структур в области энергий фотонов от 2.65 до 2.45 и от 2.55 до 2.35 эВ характеризуются резким подъемом фоточувствительности, причем его максимальные значения $h\nu_m = 2.54$ и 2.45 эВ соответствуют энергиям прямых оптических переходов в узкозонном *p-n*-переходе Ga_{*x*}In_{1-*x*}P. Абсолютная величина фоточувствительности в максимуме спектра достигает 0.2–0.4 А/Вт. С ростом содержания GaP в твердом растворе Ga_{*x*}In_{1-*x*}P максимум спектра фоточувствительности Ga_{*x*}In_{1-*x*}P *p-n*-структур сдвигается в более коротковолновую область. Резкий спад фоточувствительности до 80% относительно максимума (рисунок, *b*, кривая 4) при $h\nu > 0.3 \text{ эВ}$ обусловлен объемной рекомбинацией фотонов в GaP, что подтверждается ростом фоточувствительности при уменьшении толщины GaP.

Таким образом, дифференциально-интегрально-фоточувствительные Ga_{*x*}In_{1-*x*}P/GaP *p-n*-струкутуры позволяют детектировать расщепленные световые излучения с длиной волны $\lambda \leq 0.6 \text{ мкм}$.

Список литературы

- [1] Немец В.М., Петров А.А. Спектральный анализ неорганических газов. Л.: Химия, 1988. 240 с.
- [2] Абдулгадыров М.А., Алаев А.А., Бустанов Х.Х., Ганиев А.С. // Гелиотехника. 1992. № 2. С. 30–32.
- [3] Физико-химические свойства полупроводниковых веществ / Под ред. А.В. Новоселовой, Б.В. Лазарева. М.: Наука, 1979. 339 с.